



بررسی تحلیلی معادله غیر خطی جریان سیال در محیط متخلخل همراه با ملاحظه ترم فرشهیمر و برآورد

ضریب جابجایی حرارتی

محمد رضا شاه نظری<sup>۱</sup>، میر هدایت موسوی<sup>۲</sup>

۱- دانشیار، دانشکده مکانیک، دانشگاه خواجه نصیر طوسی، تهران، ایران

۲- دانشجوی کارشناسی ارشد، دانشکده مکانیک، دانشگاه خواجه نصیر طوسی، تهران، ایران

shahnazari@kntu.ac.ir

چکیده:

جریان توسعه یافته سیال در کانال پر شده از محیط متخلخل به عنوان یکی از مسائل کلاسیک در زمینه مکانیک سیالات شناخته می شود. مدل داری، برینکمن و برینکمن فرشهیمر از مدل‌های شناخته شده توصیف چنین جریانی می باشد. معادله داری به عنوان پرکاربردترین معادله بر اساس تشریح نیروی اصطکاکی بین سیال و شبکه جامد متخلخل شکل گرفته است. در معادله برینکمن، ترم ویسکوزیته مشابه ترم لاپلاسیان در معادله ناویر استوکس به معادله داری اضافه می شود و در نهایت ترم فرشهیمر یک ترم دراگ درجه دوم ناشی از تاثیر جامد بر سیال را بیان می کند. افزودن ترم فرشهیمر به معادله داری برینکمن سبب غیر خطی شدن معادله می گردد. در این مقاله علاوه بر ارائه پاسخ تحلیلی برای این معادله ضریب انتقال حرارت جابجایی برآورد شده است. تاثیر کلیه پارامترها بر عدد ناسلت برآورد شده است. نتایج نشان می دهد؛ با افزایش ضریب فرشهیمر عدد ناسلت کاهش می یابد؛ این روند کاهش در اعداد داری کوچکتر به یکباره صورت میگیرد و عدد ناسلت به مقادیر مجانبی خودمیل میکند. در حالیکه با افزایش عدد داری روند کاهش به یک روند خطی نزدیک می گردد. **کلید واژگان:** محیط متخلخل، برینکمن- فرشهیمر، جریان توسعه یافته، ناپایداری جریان سیال

***Analytical Study of The Nonlinear Fluid Flow Equation In The Porous Media With The Considering of The Forchheimer Term and The Convection Heat Transfer Coefficient Evaluation***

***Mohammad Reza Shah nazari<sup>1</sup>, Mir Hedayet Musavi<sup>2</sup>***

***1- Associate professor, Mechanical Faculty of K.N.Toosi University of Technology, Tehran, Iran***

***2- M.S. Student, Mechanical Faculty of K.N.Toosi University of Technology, Tehran, Iran***

***†Corresponding Author Email: shahnazari@kntu.ac.ir***

**Abstract:**

Fluid developed flow in a channel filled with porous medium is known as one of the classical problems in the field of fluid mechanics. The Darcy model, Brinkman and Brinkman Forchheimer are well-known models for describing this flow. Darcy's equation is the most widely used equation based on the description of frictional force between fluid and porous solid network. In the Brinkman equation, the term of viscosity similar to that of Laplacian in the Navier Stokes equation is added to the Darcy equation. Finally, the Forchheimer term expresses a quadrature drag term due to the solid effect on the fluid. Adding the Forchheimer term to the Brinkman equation leads to the nonlinearity of the equation. In this paper, in addition to providing an analytical solution for this equation, the convection heat transfer coefficient is valued. The effect of all parameters on the Nusselt number is estimated.

The results show that with the increase of the Forchheimer coefficient, the Nusselt number decreases; this decreases in smaller Darcy numbers is suddenly, and the Nusselt number converges to its asymptotic values. While increasing the Darcy number, the trend is closer to a linear trend.

**Keywords:** Porous Media, Brinkman- Forchheimer, Developed Fluid Flow, Fluid Flow Instability

۱- مقدمه:

معادله داری پرکاربردترین معادله جهت بیان جریان سیال در محیط متخلخل است. [1] با توجه به محدودیت‌های این روش به ویژه به منظور تصحیح تاثیر نیروی اصطکاک سیال با شبکه جامد محیط متخلخل، فرشهیمیر معادله داری را بهبود بخشید. ترم افزوده شده در معادله فرشهیمیر سبب غیرخطی شدن معادله برینکمن می‌گردد. [2].

مونات و همکاران [3] نشان دادند که تاثیر ترم اینرسی در جریان سیال در محیط متخلخل تحت شرایطی مهم خواهد بود. در مسائلی از قبیل بازیابی چاه نفت که جریان نفت توسط بخار پرفشار هدایت می‌شود؛ هنگامی که گرادیان فشار بسیار زیاد باشد یا جریان سیال چگال، ترم اینرسی موثر خواهد بود.

سابرا مانیامو رجا گوپال [4] جریان سیال پر فشار همراه با گرادیان فشار بالا را با در نظر گرفتن ویسکوزیته وابسته به فشار مدلسازی و بررسی کردند. کانان و رجا گوپال [5] همچنین جریان سیال پرفشار بر روی یک صفحه شیبدار با گرادیان فشار زیاد ناشی از جاذبه را بررسی کردند و نتایج این بررسی نشانگر گسترش لایه مرزی بود که در آن ورتیسیتی تمرکز یافته است.

در هر دو بررسی جریان پایا و به واسطه فرم ویژه فرض شده از ترم اینرسی صرف نظر شده است. وفائی و کیم یک حل تحلیلی برای جریان لامینار سیال درون یک کانال حاوی محیط متخلخل ارائه کرده اند. [6]

در این مدل فرض شده بود که لایه مرزی تا مرکز کانال گسترش نمی‌یابد. مقایسه این حل با حل عددی نشانگر تطابق خوب نتایج است در صورتی که عدد داری کوچکتر از یک باشد. دلیل این موضوع افزایش ضخامت لایه مرزی مومنتومی به دلیل افزایش عدد داری است [7]

نیلد و همکاران یک پاسخ تحلیلی دیگر برای همان مسأله بدون بهره گیری از تقریب لایه مرزی ارائه نمودند. برخلاف پاسخ ارائه شده توسط کیم و وفائی، این پاسخ برای جریان با عدد داری بزرگتر از یک کاربردی است و برای جریان‌های با عدد داری کوچکتر از یک به دلیل افزایش خطا در محاسبه انتگرال‌های عددی که مبنای این پاسخ را تشکیل می‌دهد، از دقت مناسبی برخوردار نیست. [8]

جریان سیال در محیط متخلخل از نگاه دیگر یک شکل خاص جریان دوفاز است که در آن حرکت نسبی فاز سیال در یک شبکه‌ی ذرات جامد بررسی می‌گردد. گرچه معمولاً فرض می‌گردد که شبکه‌ی ذرات جامد صلب و ساکن هستند و بنابراین جریان به صورت یک جریان تک‌فاز در نظر گرفته می‌شود. تحلیل‌های گوناگونی توسط محققین مختلف، درخصوص مدل‌های ذکر شده جریان سیال محیط متخلخل ارائه شده است. [9, 10, 11]

به دلیل غیر خطی بودن معادله برینکمن فرشهیمیر، بررسی این مدل غالباً با روش‌های عددی صورت گرفته است. [12] در این مقاله استفاده از روش هموتوبی لیاو [13] و روش کوروش [14]، یک حل تحلیلی مناسب برای مدل‌های مختلف جریان در کانال و روی صفحه محیط متخلخل ارائه شده است. مهمترین نقطه قوت پاسخ ارائه شده، سهولت استفاده از نیمرخ سرعت به ویژه برای تحلیل مسئله انتقال حرارت جایجایی و همچنین تحلیل اکسرژیک جریان می‌باشد.

۲- معادلات حاکم

جریان سیال غیرقابل تراکم ویسکوز نیوتونی در محیط متخلخل و شرایط پایا توسط معادله‌ی پیوستگی و معادله‌ی داری - برینکمن فرشهیمیر بیان می‌گردد.

$$\nabla \cdot V = 0 \quad (1)$$

$$(V \cdot \nabla)V = -1/\rho \nabla P + \nu \nabla^2 V + \frac{\nu}{K} \cdot V + \frac{C_F V |V|}{\sqrt{K}} \quad (2)$$

در این معادلات  $V$  بردار سرعت،  $\rho$  دانسیته‌ی سیال،  $\nu$  ویسکوزیته سیال و  $P$  فشار سیال است. همچنین ترم سوم سمت راست، ترم داری و در آن  $K$  بیانگر میزان نفوذپذیری محیط متخلخل و ترم چهارم نشانگر ترم فرشهیمیر است که در آن  $C_F$  نشانگر ضریب فرشهیمیر می‌باشد.

با در نظر گرفتن جریان توسعه‌یافته درون یک کانال با دیواره‌های مسطح پر شده از مواد متخلخل (شکل ۱). و در نتیجه صرف نظر از تغییرات در راستای محوری ( $\frac{\partial}{\partial x} = 0$ )، جریان دارای پروفایل سرعت یک بعدی خواهد بود ( $v=0$ ).

در این حالت از معادله‌ی (۲) می‌توان نوشت:

$$0 = -1/\rho \frac{\partial p}{\partial x} - \nu u_{yy} - \frac{\nu}{K} u - \frac{C_F}{\sqrt{K}} u |u| \quad (1-3)$$

$$\frac{\partial p}{\partial y} = 0 \quad (2-3)$$

به عبارت دیگر

$$\begin{cases} u = u(y) \\ P = P(x) \end{cases} \quad (4)$$

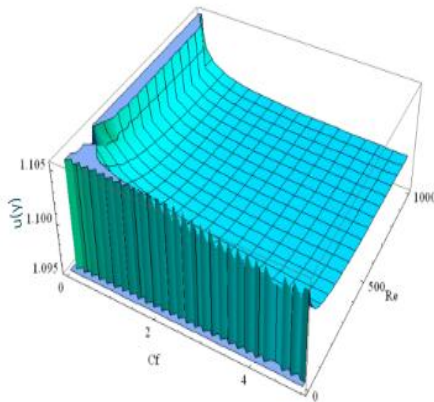
معادله‌ی (۳) حالت کلی برای مدل‌های داری، داری فرشهیمیر و داری - لپ وود- برینکمن می‌باشد که با صرف نظر کردن از ترم‌های مختلف آن یکی از مدل‌های اشاره شده حاصل خواهد شد.

$$1/\rho \bar{P}_{1x} + \nu/k \bar{u} = 0 \quad (1-5)$$

معادله داری

$$\begin{aligned} & \frac{-31500ARe-4919A^3Cf^2Re^5}{151200 Da} + \\ & \frac{37800ARey^2+6930A^3Cf^2Re^5y^2}{151200 Da} + \\ & \frac{-6300ARey^4-2730A^3Cf^2Re^5y^4}{151200 Da} + \\ & \frac{840A^3Cf^2Re^5y^6-135A^3Cf^2Re^5y^8}{151200 Da} + \frac{14A^3Cf^2Re^5y^{10}}{151200 Da} \end{aligned}$$

گرچه می‌توان پاسخ را با درجات دقت بالاتر به دست آورد. شکل (۱) نیمرخ سرعت را به ازای عدد دارسی برابر ۱۰۰۰ و  $C_F=0.5$  نشان می‌دهد.



شکل (۱): نیمرخ سرعت به ازای عدد دارسی برابر ۱۰۰۰ در  $C_F$  و رینولدزهای مختلف

#### ۴- نیمرخ سرعت در مدل‌های مختلف

معادله دارسی و دارسی-فرشهیمر معادلات جبری هستند که به سادگی می‌توان نرخ سرعت را در آنها تعیین نمود. گرچه این دو معادله شرایط مرزی را ارضاء نمی‌کنند.

$$u = -D_a Re A \quad \text{نیمرخ سرعت معادله دارسی} \quad (11)$$

$$u(y) = \frac{-1 + \sqrt{1 - 4Re^2 C_F (D_a)^{3/2}}}{2C_F Re \sqrt{D_a}} \quad \text{نیمرخ سرعت معادله دارسی-فرشهیمر}$$

همین پاسخ معادله دارسی-لپ ورد - برینکمن با توجه به شرایط مرزی  $u(1)=u(-1)=0$  به صورت زیر قابل نمایش است.

$$u(y) = A Re Da (-1 + \text{Cosh}[\frac{x}{\sqrt{Da}}] \text{Sech}[\frac{1}{\sqrt{Da}}]) \quad \text{نیمرخ سرعت معادله دارسی-لپ ورد - برینکمن} \quad (12)$$

$$\frac{1}{\rho} \bar{P}_{1\bar{x}} + \nu/k \bar{u} + \frac{C_F}{\sqrt{k}} |\bar{u}| \bar{u} = 0 \quad \text{معادله دارسی-فرشهیمر} \quad (2-5)$$

$$\nu \bar{u}_{yy} = \frac{1}{\rho} \bar{P}_{1\bar{x}} + \nu/k \bar{u} \quad \text{معادله دارسی-برینکمن} \quad (3-5)$$

با معرفی متغیرهای بدون بعد به صورت

$$y = \frac{\bar{y}}{H}, \quad u = \frac{\bar{u}}{U}, \quad Re = \frac{\rho v h}{\mu}, \quad \Delta P = \frac{\bar{\Delta P}}{\rho v^2}$$

معادلات حاکم را می‌توان به فرم زیر بازنویسی کرد

$$D_a Re A + u = 0 \quad (6)$$

$$D_a Re A + u + C_f Re \sqrt{D_a} |u| u = 0$$

$$D_a Re A + u = D_a u_{yy}$$

و در حالت کلی معادله دارسی برینکمن فرشهیمر (معادله ۳-۱) به شکل زیر بیان می‌گردد

$$D_a u_{yy} = D_a Re A + u + C_f Re \sqrt{D_a} |u| u \quad (7)$$

که در آن  $D_a = \frac{K}{H^2}$  و در نهایت  $\Delta P = \frac{\bar{\Delta P}}{\rho U^2}$ ,  $L = \frac{\bar{L}}{h}$ ,  $A = \frac{\Delta P}{L}$  می‌باشد.

#### ۳- حل مجانبی برای مقادیر عدد دارسی بزرگ

برای مقادیر  $D_a \gg 1$  با در نظر گرفتن  $\frac{1}{\sqrt{D_a}} = \varepsilon$  معادله ۷ را می‌توان به شکل زیر بازنویسی کرد.

$$u_{yy} = Re A + \varepsilon C_f Re |u| u + \varepsilon^2 u \quad (8)$$

با در نظر گرفتن  $u = u_0 + \varepsilon u_1 + \varepsilon^2 u_2 + \dots$  معادلات حاصل بر حسب توان‌های مختلف  $\varepsilon$  برابر است با:

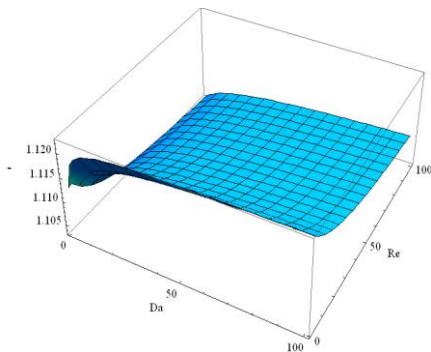
$$\begin{aligned} \varepsilon^0 \quad u_0 yy &= Re A \\ \varepsilon^1 \quad u_1 yy &= u_0^2 Re C_F \\ \varepsilon^2 \quad u_2 yy &= 2Re C_F u_0 u_1 + u_0 \end{aligned} \quad (9)$$

$$\varepsilon^3 \quad u_3 yy = Re C_F (u_1^2 + 2u_0 u_2) + u_1$$

شرایط مرزی برای تمام این معادلات عبارت است از  $u_i(1) = u_i(-1) = 0$  که ناشی از شرط عدم لغزش روی دیواره است. مجموعه معادلات خطی حاصل به سادگی حل می‌شوند. رابطه زیر پاسخ تحلیلی تا درجه  $\varepsilon^2$  را نشان می‌دهد.

$$u(y) = \frac{1}{2} A Re (-1 + y^2) + \frac{11A^2 C_f Re^3 - 15A^2 C_f Re^3 y^2}{120 Da^{0.5}} + \frac{5A^2 C_f Re^3 y^4 - A^2 C_f Re^3 y^6}{120 Da^{0.5}} + \dots \quad (10)$$

نیمرخ سرعت برای  $C_F = 0.5$  و  $Re=10$  در شکل (۱۸) ارائه شده است.



شکل (۲): تغییرات سرعت برای مقادیر مختلف  $Da$  و  $Re$  در  $y=0.5$  و  $C_F=0.5$

#### ۵- حل معادله انرژی

معادله انرژی برای جریان توسعه یافته درون کانال پر شده از محیط متخلخل را می توان به شکل زیر نشان داد

$$\rho C_p \bar{u} \frac{\partial \bar{T}}{\partial x} = K \frac{\partial}{\partial y} \left( \frac{\partial \bar{T}}{\partial y} \right) \quad (18)$$

با معرفی متغیر بدون بعد  $\theta = \frac{T-T_w}{T_m-T_w}$  که در آن  $T_w$  دمای دیواره و  $T_m = \int_0^1 T dy$  معادله (۱۸) را می توان به شکل زیر بازنویسی کرد.

$$\frac{H\rho C_p U}{k} u \frac{\partial \theta}{\partial x} = \frac{\partial^2 \theta}{\partial y^2} \quad (19)$$

از سوی دیگر

$$\begin{aligned} (T_m - T_w) \rho C_p U \frac{\partial \theta}{\partial x} &= q'' \\ &= 2h(T_m - T_w) \end{aligned} \quad (20)$$

و با جایگذاری معادله نهایی انرژی را بر حسب متغیر بدون بعد  $\theta$  می توان چنین نوشت

$$2\theta''(y) + u.Nu = 0 \quad (21)$$

همراه با شرایط مرزی

$$\begin{cases} \theta'(0) = 0 \\ \theta(1) = 0 \end{cases} \quad (22)$$

جایگذاری نرخ سرعت خاص از حل مدل های مختلف در معادله ۲۱ و حل معادله دیفرانسیل خطی حاصل، نرخ دما را برای هر یک از مدل ها نتیجه خواهد داد.

برای سرعت حاصل از معادله انرژی - برینکمن فرشه میر، معادله نرخ دمای بدون بعد حاصل به صورت زیر حاصل می گردد.

ترم فرشه میر معادله جریان را تبدیل به یک معادله غیرخطی می کند.

در حالت کلی برای مقادیر مختلف عدد داری معادله داری برینکمن فرشه میر با روش های عددی توسط تخمین مختلف تحلیل شده است [۱]. در اینجا یک روش مجانبی تحلیلی برای به دست آوردن پاسخ معادله ارائه می گردد.

با بازنویسی معادله (۷) به صورت زیر و ورور پارامتر  $\mathcal{K}$ ، ساختار زیر حاصل می گردد. (۱۳)

$$D_a u_{yy} = D_a Re A + \mathcal{K}u + \mathcal{K}^2 C_f Re \sqrt{D_a} |u|u$$

به صورت مشخص با میل  $\mathcal{K} \rightarrow 1$  معادله (۱۳) با معادله (۷) یکسان می گردد. با در نظر گرفتن پاسخ معادله (۱۳) به صورت

$$u = u_0 + \mathcal{K}u_1 + \mathcal{K}^2 u_2 + \dots \quad (14)$$

و به دست آوردن حد آن به ازای  $\mathcal{K} \rightarrow 1$ ، پاسخ مجانبی برای معادله (۷) حاصل می گردد. با حل معادلات خطی حاصل بر حسب توان های مختلف  $\mathcal{K}$ ؛ پاسخ زیر-تا درجه  $\mathcal{K}^2$  برای معادله حاصل شده- است.

$$\begin{aligned} u(x) &= A Re ((1-x^2)/2) \\ &+ \sqrt{D_a}^{-1} (0.0083 - 0.25x^2 \\ &+ 0.04167x^4) \\ &+ AC_F \sqrt{D_a}^{0.5} Re^2 (0.0916 \\ &- 0.125x^2 + 0.04167x^4 - 0.00833x^6) \\ &+ \sqrt{D_a}^{-2} (0.08472 - 0.10417x^2 \\ &+ 0.02083x^4 - 0.00139x^6) \end{aligned} \quad (16)$$

ضریب  $A$  را با توجه به اینکه  $1 = \int_0^1 u dy$  می توان به دست آورد.

$$\begin{aligned} A &= 8.75 Da^{0.5} \left( \frac{-0.333 - \frac{0.05396}{Da^2} - \frac{0.13333}{Da^1}}{C_f Re^3} \right) Re \\ &+ \sqrt{Re^2 \left( \left( 0.333 + \frac{0.0539}{Da^2} + \frac{0.133}{Da^1} \right)^2 + \frac{0.228 C_f R}{Da^{0.5}} \right)} \\ &+ \sqrt{C_f Re^3} \end{aligned} \quad (17)$$

شکل (۲) پروفیل سرعت حاصل از معادله (۱۵) را به ازای  $C_F = 0$  (جریان برینکمن) در مقایسه با حل دقیق (۱۳) نشان می دهد.

در شکل (۳) تغییرات سرعت برای مقادیر مختلف  $Da$  و  $Re$  در  $y=0.5$  و  $C_F=0.5$  ارائه می کند. همچنین تاثیر عدد داری بر

$$Nu = \frac{24Da^{11}}{M + N} \quad (24)$$

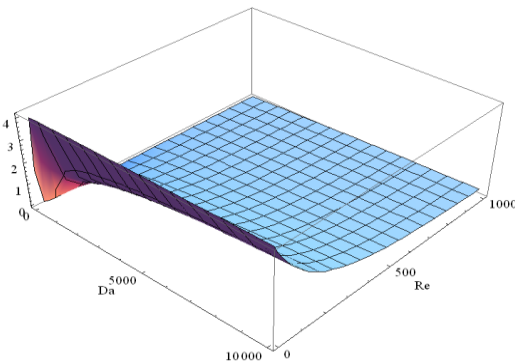
که در آن:

$$M = A^2 Re^2 (0.0175 Da^7 + 0.08623 Da^8 + 0.3190 Da^9 + 0.6476 Da^{11})$$

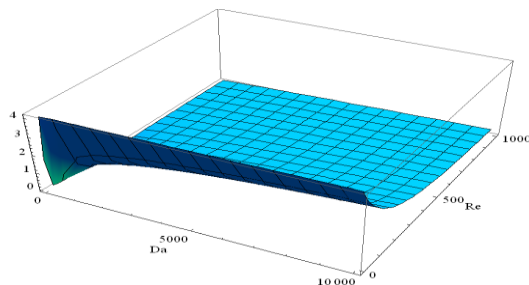
$$Nu = A^2 Re^2 (0.0372 A C_f Da^{8.5} Re^2 + 0.0918 A C_f Da^{9.5} Re^2 + 0.2265 A C_f Da^{10.5} Re^2 + Da^{10} (0.5249 + 0.0198 A^2 C_f^2 Re^4))$$

شکل (۴) تغییرات عدد ناسلت برای جریان داری برینکمن فرشهیمر را برحسب عدد داری برای ضریب فرشهیمر معادل ۰.۵ و یک ارائه شده است.

شکل (۵) تاثیر ضریب فرشهیمر را بر عدد ناسلت برای مقادیر معین داری در مقایسه با هم نشان می‌دهد. با افزایش ضریب فرشهیمر عدد ناسلت کاهش می‌یابد؛ این روند کاهش در اعداد داری کوچکتر به یکباره صورت می‌گیرد و عدد ناسلت به مقادیر مجانبی خود میل می‌کند. در حالیکه با افزایش عدد داری روند کاهش به یک روند خطی نزدیک می‌گردد. که برای مدل داری-لپ ورد برینکمن به سادگی با صرف نظر کردن از ترم‌های شامل  $C_F$  به صورت  $\frac{24Da^{11}}{M}$  قابل بیان خواهد بود.



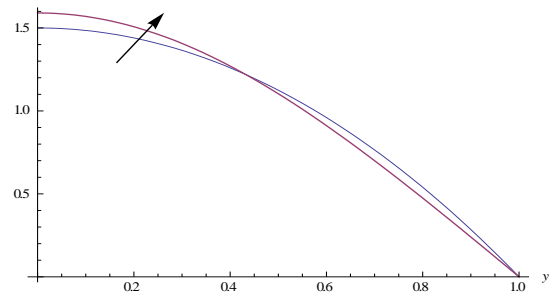
الف



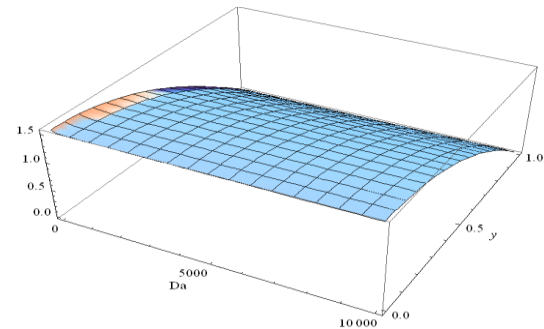
ب

شکل (۴): تغییرات عدد ناسلت برای جریان داری برینکمن فرشهیمر برحسب عدد داری الف (  $C_F=0.5$  ) ب (  $C_F=1$  )

$$\theta(y) = \frac{1}{Da^5} (0.0172 A Da^3 Nu Re + 0.0424 A Da^4 Nu Re + 0.1042 A Da^5 Nu Re - 0.02128 A Da^3 Nu Re y^2 - 0.052 A Da^4 Nu Re y^2 - 0.125 A Da^5 Nu Re y^2 + 0.0043 A Da^3 Nu Re y^4 + 0.01042 A Da^4 Nu Re y^4 + 0.0208 A Da^5 Nu Re y^4 - 0.00035 A Da^3 Nu Re y^6 - 0.0007 A Da^4 Nu Re y^6 + 0.00001 A Da^3 Nu Re y^8) \quad (23)$$



الف



ب

شکل (۳): نیمرخ سرعت داری-برینکمن-فرشهیمر الف) تاثیر ضریب فرشهیمر  $C_F = 0.5$  ،  $Re=100$  ،  $Da=100$  ب) تاثیر عدد داری برای  $Re=10$  و  $Re=10$

از سوی دیگر با توجه به تعریف  $T_m$ :

$$UT_m H = \int_0^H \bar{u} T dy \quad (24-a)$$

$$1 = \frac{T_m - T_w}{T_m - T_w} = \int_0^1 u \left( \frac{T - T_w}{T_m - T_w} \right) dy \quad (24-b)$$

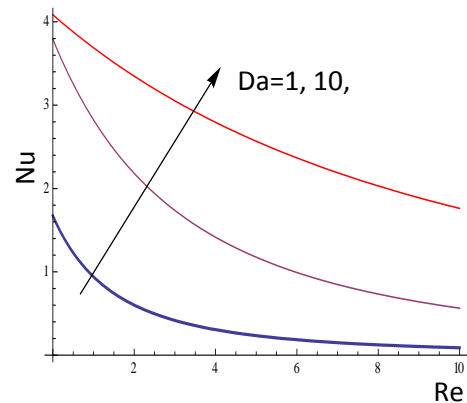
$$= \int_0^1 u \theta dy$$

و در نهایت با استفاده از روابط حاصل شده برای  $\theta$  و  $u$  و انتگرال-گیری مسئله از حاصل ضرب آنها و برابر قرار دادن آن با یک می‌توان عدد  $Nu$  را برای هر یک از مدل‌های مورد بررسی به دست آورد. برای مدل کلی داری-برینکمن فرشهیمر فرم کلی  $Nu$  را می‌توان به شکل زیر نوشت:

نتایج نشان می‌دهد؛ با افزایش ضریب فرشهیمر عدد ناسلت کاهش می‌یابد؛ این روند کاهش در اعداد دارسی کوچکتر به یکباره صورت می‌گیرد و عدد ناسلت به مقادیر مجانبی خودمیل می‌کند. در حالیکه با افزایش عدد دارسی روند کاهش به یک روند خطی نزدیک می‌گردد.

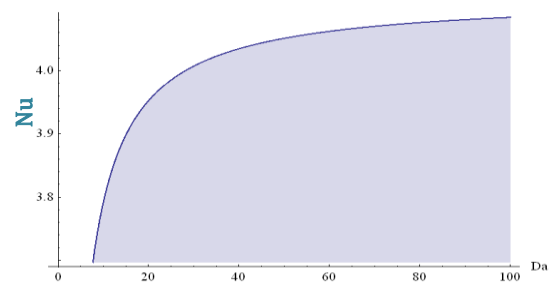
#### ۷- مراجع:

1. H. C. Brinkman, On the permeability of the media consisting of closely packed porous particles, *Applied Scientific Research A1* (1947), 81-86.
2. Awartani M. M., Hamdan M. H. Fully Developed Flow Through A Porous Channel Bounded By Flat Plates[J]. *Applied Mathematics And Computation*, 2005, 169(2): 749-757.
3. D. Munaf, D. Lee, A. S. Wineman, K. R. Rajagopal, A boundary value problem in groundwater motion analysis-comparisons based on Darcy's law and the continuum theory of mixtures, *Mathematical Modeling and Methods in Applied Science* 3 (1993), 231-248.
4. S. C. Subramaniam, K. R. Rajagopal, A note on the flow through porous solids at high pressures, *Computers and Mathematics with Applications* 53 (2007), 260-275.
5. K. Kannan, K. R. Rajagopal, Flow through porous media due to high pressure gradients, *Applied Mathematics and Computations*, 1999 (2008), 748-759.
6. K. Vafai and S. J. Kim, "Forced convection in a channel with a porous medium: An exact solution," *ASME J. Heat Transfer* 111, 1103, 1989
7. K. Vafai and S. J. Kim, "Forced convection in a porous channel with localized heat sources, by A. Hadim, *ASME J. Heat Transfer* 117, 1097, 1995.
8. D. A. Nield, S. L. M. Junqueira, and J. L. Lage, "Forced convection in a fluid-saturated porous-medium channel with isothermal or iso flux boundary conditions," *J. Fluid Mech.* 322, 201, 1996
9. M. Kaviany, Laminar flow through a porous channel bounded by isothermal parallel plates, *Int. J. Heat Mass Transfer* 28 (1985) 851-858
10. Hooman, A. A. Ranjbar-Kani, A perturbation based analysis to investigate forced convection in a porous saturated tube, *J. Comput. Appl. Math.* 162 (2004) 411-419
11. P.D. Ariel, Flow of viscoelastic fluids through a porous channel: I, *International Journal for Numerical Methods in Fluids* 17 (1993) 605-633.



شکل (۵): تاثیر ضریب فرشهیمر بر عدد ناسلت برای مقادیر معین دارسی در مقایسه با یکدیگر

تغییرات عدد  $Nu$  برحسب عدد دارسی در جریان برینکمن را میتوان بصورت شکل (۶) نمایش داد. در شرایط حدی با میل عدد دارسی به مقادیر بسیار بزرگ ( $Da \gg 1$ ) مشاهده می‌شود که با توجه به نزدیک شدن جریان به جریان پویسله در یک گانال، عدد ناسلت نیز به مقدار متعارف ۴.۱۱۷ میل می‌کند.



شکل (۶): تغییرات عدد  $Nu$  برحسب عدد دارسی در جریان برینکمن

#### ۶- بحث و نتیجه گیری:

در این مقاله، یک حل تحلیلی مناسب برای مدل‌های مختلف جریان در کانال حاوی محیط متخلخل ارائه شده است. مهمترین نقطه قوت پاسخ ارائه شده، سهولت استفاده از نیمرخ سرعت به ویژه برای تحلیل مسئله‌ی انتقال حرارت جایجایی و همچنین تحلیل اکسرژیک جریان می‌باشد.

افزودن ترم فرشهیمر به معادله دارسی برینکمن سبب غیر خطی شدن معادله می‌گردد. در این مقاله علاوه بر ارائه پاسخ تحلیلی برای این معادله ضریب انتقال حرارت جایجایی برآورد شده است. تاثیر کلیه پارامترها بر عدد ناسلت برآورد شده است.

12. M.H. Hamdan, Single-phase flow through porous channels: A review. Flow models and channel entry conditions, *Journal of Applied Mathematics and Computations*, 62 (2&3) (1994) 203–222.
13. Liao, S.J., On the homotopy analysis method for nonlinear problems, *Journal of Applied Mathematics and Computations*, 147(2),(2004) 499-513
14. Shahnazari, m.r, A novel homotopy Perturbation method: kouros method for a thermal Boundary layer in a saturated porous medium, *International Journal of Engineering (IJE)* , 25(1), (2012), 59-64